

APÊNDICE M - CASOS DE CICLÔGENESES

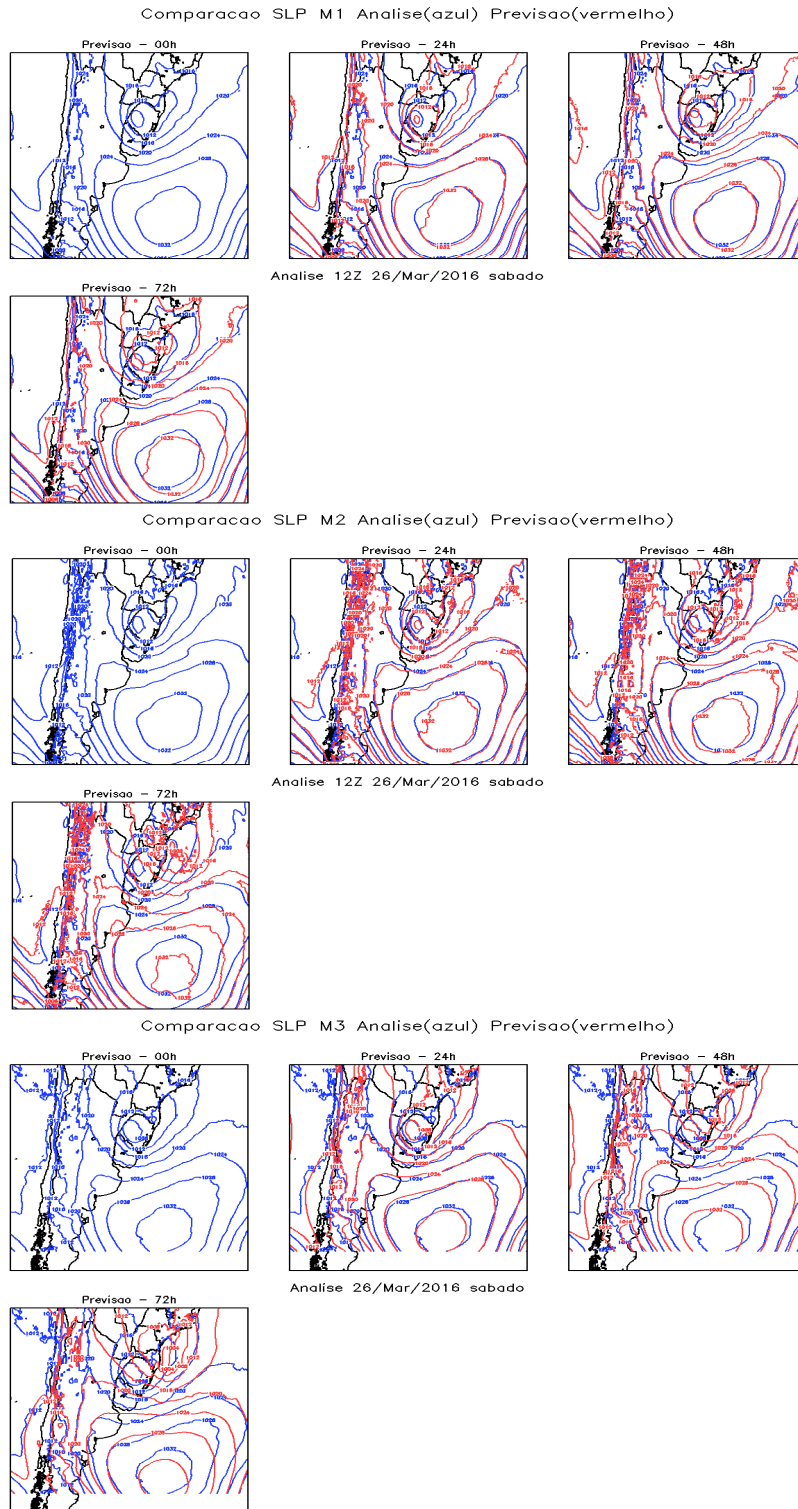
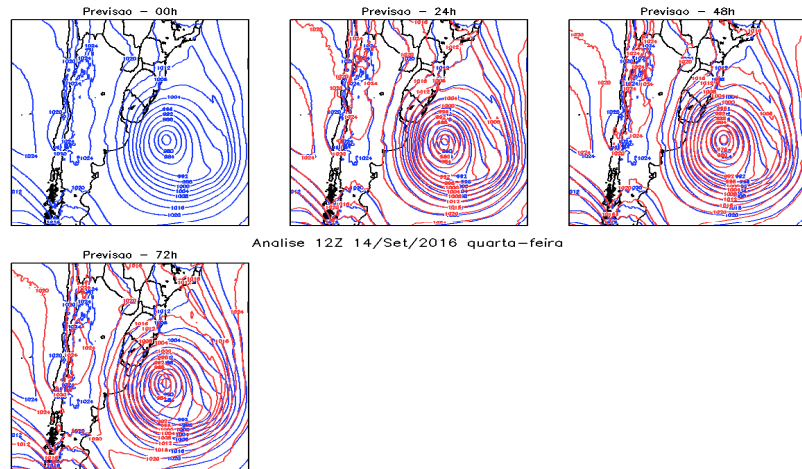
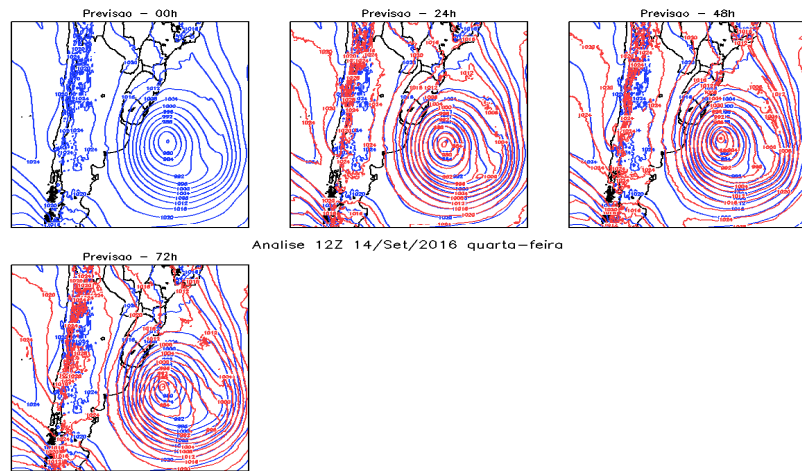


Figura M1. Campo de pressão reduzida ao nível do mar da análise e das previsões de 24, 48 e 72h dos modelos M1 (a), M2 (b) e M3 (c), correspondente ao dia 26 de março de 2016 às 1200 UTC.

Comparacao SLP M1 Analise(azul) Previsao(vermelho)



Comparacao SLP M2 Analise(azul) Previsao(vermelho)



Comparacao SLP M3 Analise(azul) Previsao(vermelho)

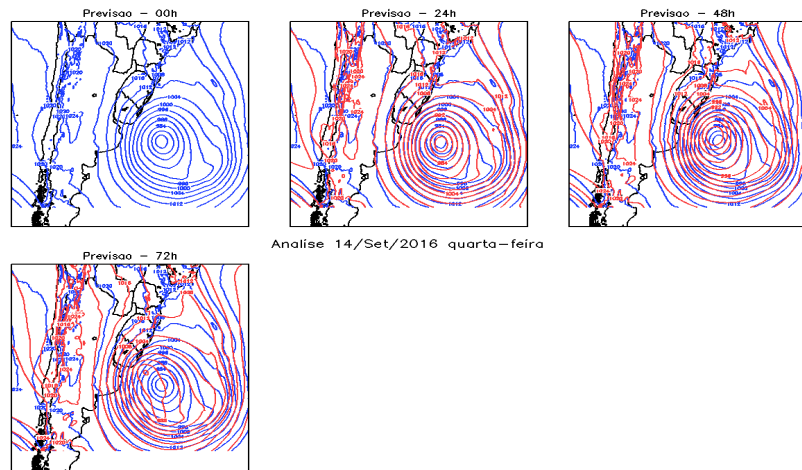
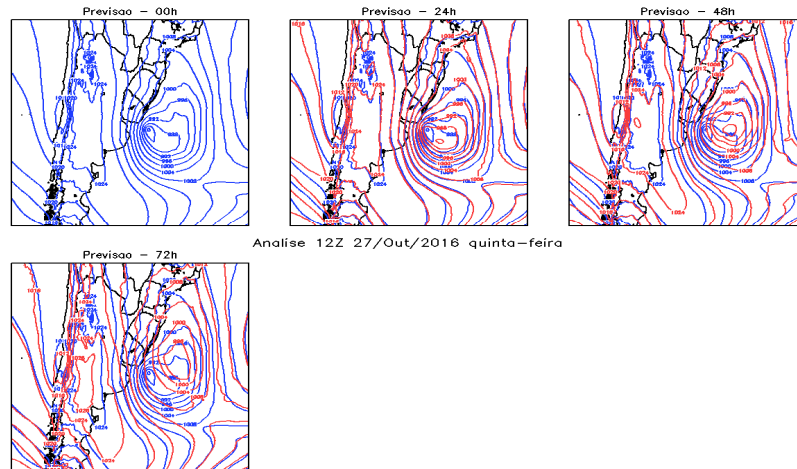
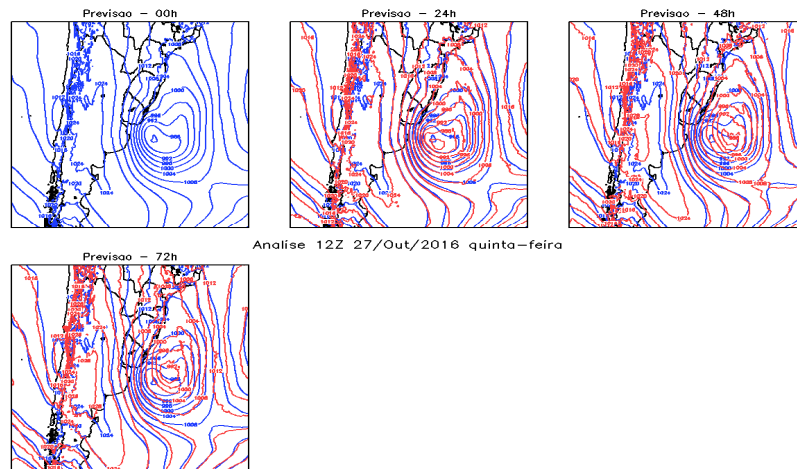


Figura M2. Campo de pressão reduzida ao nível do mar da análise e das previsões de 24, 48 e 72h dos modelos M1 (a), M2 (b) e M3 (c), correspondente ao dia 14 de setembro de 2016 às 1200 UTC

Comparacao SLP M1 Analise(azul) Previsao(vermelho)



Comparacao SLP M2 Analise(azul) Previsao(vermelho)



Comparacao SLP M3 Analise(azul) Previsao(vermelho)

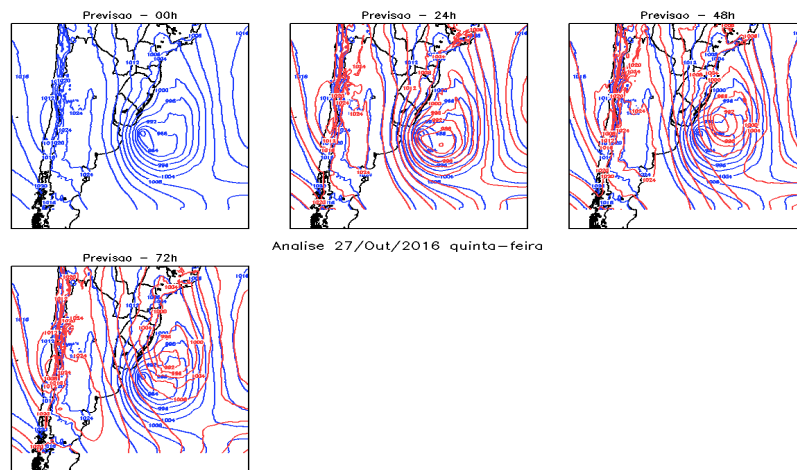
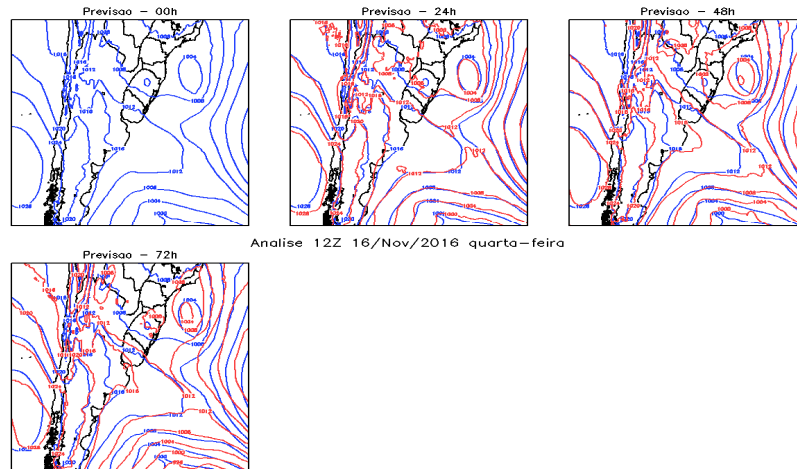
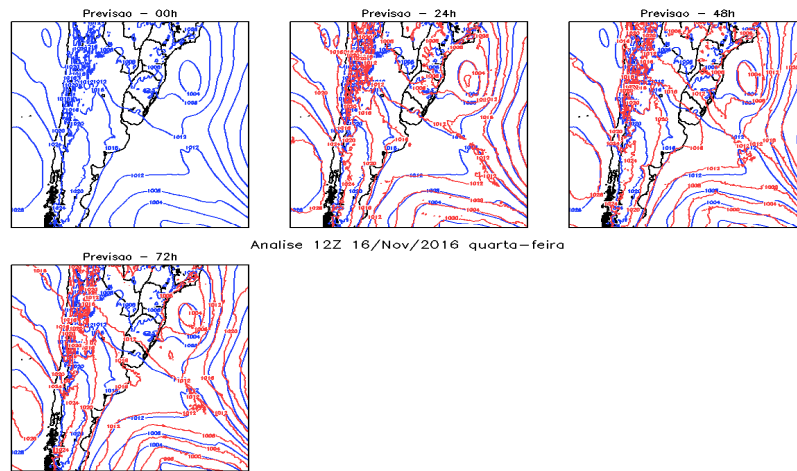


Figura M3. Campo de pressão reduzida ao nível do mar da análise e das previsões de 24, 48 e 72h dos modelos M1 (a), M2 (b) e M3 (c), correspondente ao dia 27 de outubro de 2016 às 1200 UTC.

Comparacao SLP M1 Analise(azul) Previsao(vermelho)



Comparacao SLP M2 Analise(azul) Previsao(vermelho)



Comparacao SLP M3 Analise(azul) Previsao(vermelho)

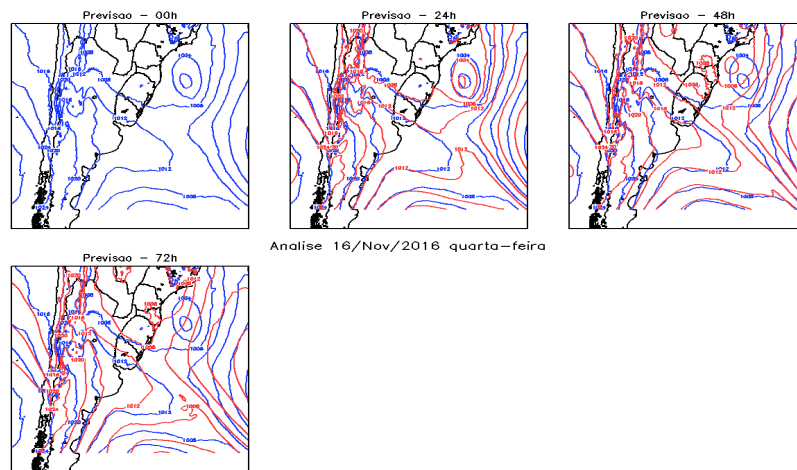
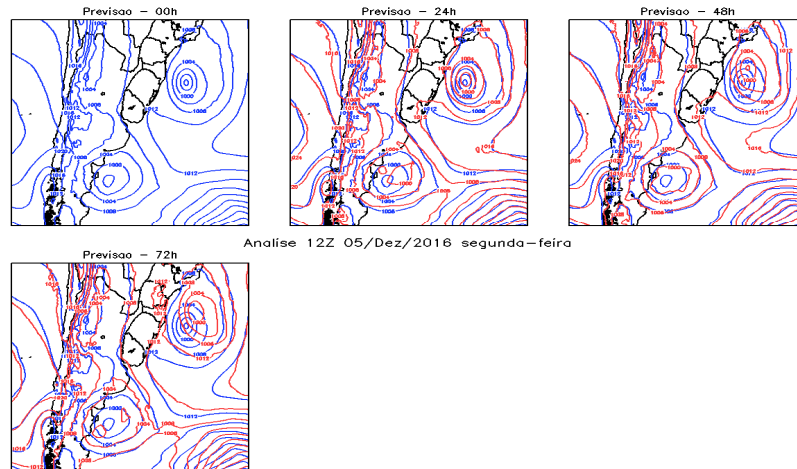
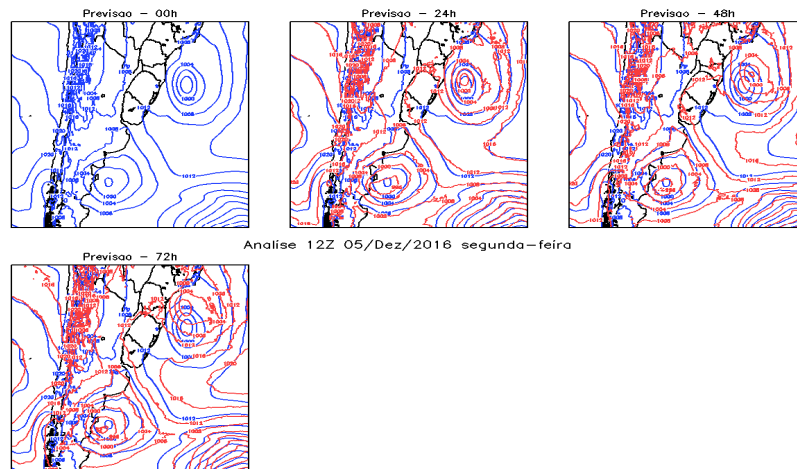


Figura M4. Campo de pressão reduzida ao nível do mar da análise e das previsões de 24, 48 e 72h dos modelos M1 (a), M2 (b) e M3 (c), correspondente ao dia 16 de novembro de 2016 às 1200 UTC.

Comparacao SLP M1 Analise(azul) Previsao(vermelho)



Comparacao SLP M2 Analise(azul) Previsao(vermelho)



Comparacao SLP M3 Analise(azul) Previsao(vermelho)

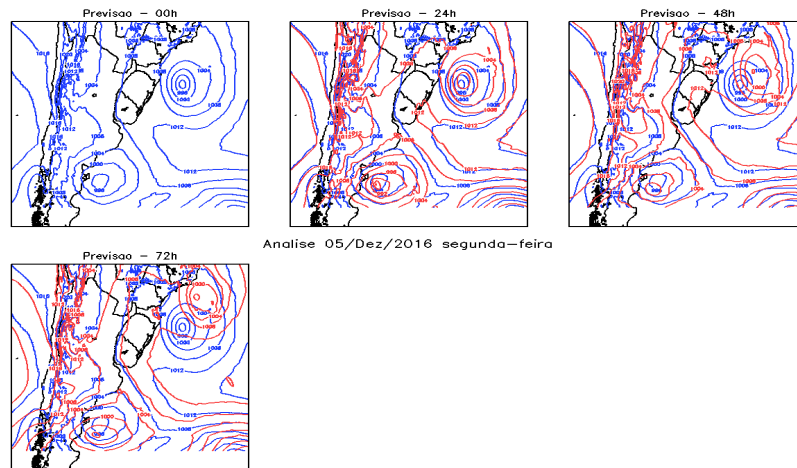
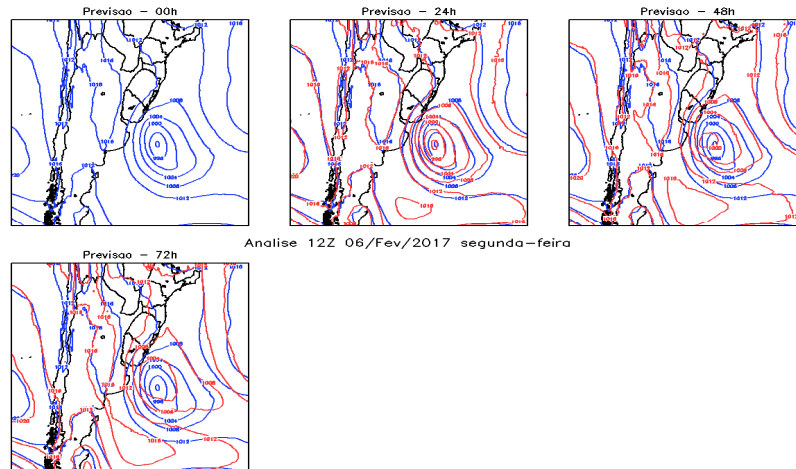
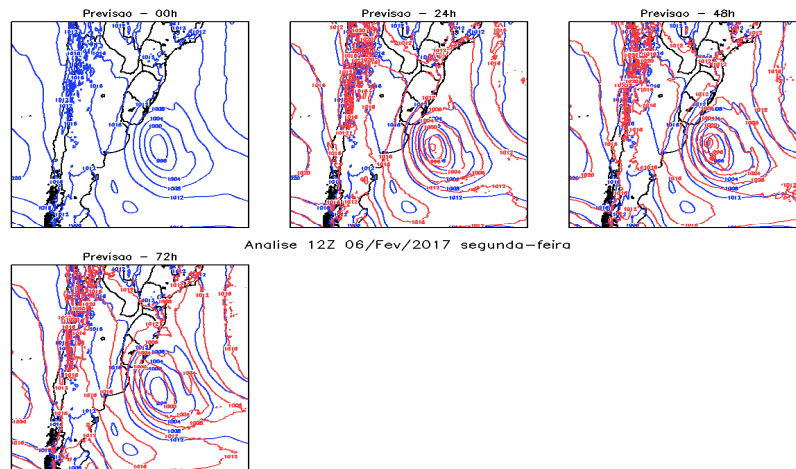


Figura M5. Campo de pressão reduzida ao nível do mar da análise e das previsões de 24, 48 e 72h dos modelos M1 (a), M2 (b) e M3 (c), correspondente ao dia 05 de dezembro de 2016 às 1200 UTC.

Comparacao SLP M1 Analise(azul) Previsao(vermelho)



Comparacao SLP M2 Analise(azul) Previsao(vermelho)



Comparacao SLP M3 Analise(azul) Previsao(vermelho)

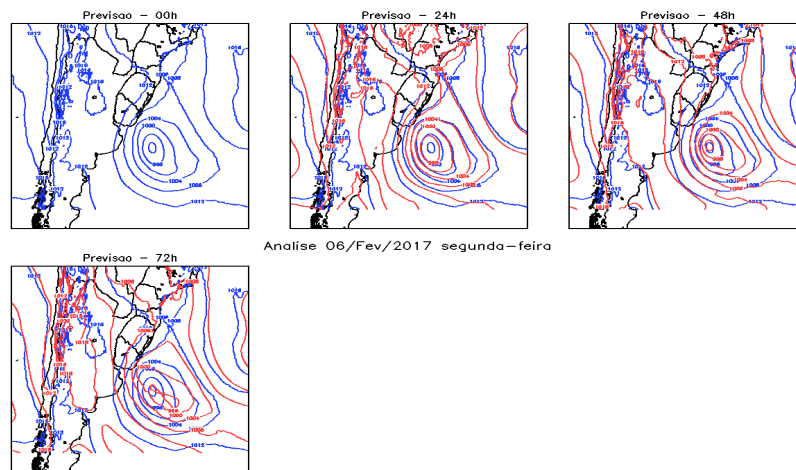


Figura M6. Campo de pressão reduzida ao nível do mar da análise e das previsões de 24, 48 e 72h dos modelos M1 (a), M2 (b) e M3 (c), correspondente ao dia 06 de fevereiro de 2016 às 1200 UTC.